



Estimation of Water Requirement and Wheat (*Triticum aestivum* L.) Yield under the Impact of Climate Change

Mojgan Ahmadi¹ and Hadi Ramezani Etedali^{2*}

Received: 24-01-2021
Revised: 20-06-2021
Accepted: 01-09-2021
Available Online: 01-09-2021

How to cite this article:

Ahmadi, M., and Ramezani Etedali, H., 2023. Estimation of water requirement and wheat (*Triticum aestivum* L.) yield under the impact of climate change. *Journal of Agroecology* 14(4): 751-768.
DOI: [10.22067/agry.2021.68517.1015](https://doi.org/10.22067/agry.2021.68517.1015)

Introduction

Crop production is directly dependent on climatic conditions, and climate determines the sources of production and productivity of agricultural activities. Therefore, long-term forecasting of climate variables and taking the necessary measures to mitigate the adverse effects of climate change have been considered by many researchers around the world. Climate change affects water requirement and crop yields in the future, so it is important to study changes in meteorological parameters and their impact on water requirement and crop yields in each region. So, in this study, the effect of climate change on the yield and water requirement of wheat in Qazvin synoptic station was investigated.

Materials and methods

In this study, the results of the scenarios were compared with the data of Qazvin station for wheat crop by statistical error criteria including Explanation coefficient statistics (R^2), root mean square error (RMSE) and maximum error (ME). For evaluation, from the general circulation models in the LARS-WG model (EC-Earth, GFDL-CM3, HadGEM2-ES, MIROC5, MPI-ESM-MR) and the scenarios of RCP2.6, RCP4.5 and RCP8.5 in the baseline 1986-2015 was used. Yield and water requirement of wheat in the baseline and future periods 2021-2040, 2041-2060, 2061-2080 and 2081-2100 were calculated with Aqua Crop software.

Result and discussion

The coefficient of explanation for the maximum and minimum temperatures simulated with the LARS-WG model shows that the simulated data and the synoptic station data are highly correlated. An explanation coefficient greater than 90% indicates that more than 90% of the variance in the minimum and maximum temperature data of the synoptic station is described by the LARS-WG model data. The value of RMSE at the minimum and maximum temperature is less than 3 °C, which indicates the low temperature deviation simulated with the LARS-WG model compared to the actual temperature. The ME index value was obtained for the minimum temperature equal 6.93 °C and for the maximum temperature equal 7.76 °C. The coefficient of explanation for the precipitation simulated with the LARS-WG model shows that the simulated data and the data of the synoptic station do not have a high correlation and the coefficient of explanation decreases to less than 0.5. The values of RMSE and ME were 33.28 mm and 183.10 mm, respectively. The results show that the model is more accurate in simulating minimum and maximum temperatures than precipitation. In a study, Goudarzi et al. (2015) investigated the performance of LARS-WG and SDSM microscopic exponential models in simulating climate change in the catchment area of Lake Orumieh. The results showed that both models are more accurate in simulating temperature than precipitation, which is consistent with the

1- Ph.D. Student, Department of Water Science and Engineering, Imam Khomeini International University, Qazvin, Iran.
2- Associate Professor, Department of Water Science and Engineering, Imam Khomeini International University, Qazvin, Iran

(*- Corresponding author's Email: Ramezani@eng.ikiu.ac.ir)

results of the present study. The average wheat yield for the baseline was 7.67 (tons/ha). The yield average will increase in future periods, which is the highest in the HadGEM2-ES model with the RCP8.5 scenario and the period 2081-2100. Water requirement was obtained in the baseline 127.14 mm. The water requirement average will decrease in future periods.

Conclusion

The simulation results of the LARS-WG model in the baseline showed that the model has more accurate in the simulation of minimum temperature (Tmin) and maximum temperature (Tmax) than precipitation. This study findings have also showed that the temperature will increase in future periods. Precipitation changes were seen as both decreasing and increasing trend. The yield increased in future periods, which is the highest in the HadGEM2-ES model with the RCP8.5 scenario and the period 2081-2100. The water requirement decreased in future periods.

Keywords: Aqua Crop, General Atmospheric Circulation Models, LARS-WG Model, RCP Scenarios.

مقاله پژوهشی

برآورد نیاز آبی و عملکرد گندم (*Triticum aestivum* L.) تحت تأثیر تغییر اقلیم (مطالعه

موردی: دشت قزوین)

مژگان احمدی^۱ و هادی رضوانی اعتدالی^{۲*}

تاریخ دریافت: ۱۳۹۹/۱۱/۰۵

تاریخ بازنگری: ۱۴۰۰/۰۳/۳۰

تاریخ پذیرش: ۱۴۰۰/۰۶/۱۰

احمدی، م.، و رضوانی اعتدالی، ه.، ۱۴۰۱. برآورد نیاز آبی و عملکرد گندم (*Triticum aestivum* L.) تحت تأثیر تغییر اقلیم (مطالعه موردی: دشت قزوین). بوم‌شناسی کشاورزی ۱۴(۴): ۷۶۸-۷۵۱.

چکیده

در عصر حاضر، تغییر اقلیم به‌عنوان یکی از عوامل مهم و تأثیرگذار در توسعه پایدار، کشاورزی و امنیت غذایی مطرح می‌باشد. گندم (*Triticum aestivum* L.) یکی از محصولات مهم و استراتژیک در جهان و ایران محسوب می‌شود. به همین منظور، در این پژوهش به تأثیر تغییر اقلیم بر عملکرد و نیاز آبی گندم آبی در دشت قزوین در دوره‌های آبی پرداخته شده است. برای ارزیابی، از مدل‌های گردش عمومی موجود در مدل LARS-WG (EC-Earth، GFDL-CM3، MIROC5، HadGEM2-ES، MPI-ESM-MR) و سناریوهای RCP2.6، RCP4.5 و RCP8.5 در دوره پایه ۲۰۱۵-۱۹۸۶ و در دوره‌های آبی ۲۰۴۰-۲۰۲۱، ۲۰۶۰-۲۰۴۱، ۲۰۸۰-۲۰۶۱ و ۲۱۰۰-۲۰۸۱ استفاده شد. نیاز آبی و عملکرد گندم در دوره پایه و دوره‌های آبی با نرم‌افزار Aqua Crop محاسبه شد. در این پژوهش، نتایج حاصل از سناریوها با داده ایستگاه قزوین برای محصول گندم، توسط معیارهای آماری شامل آماره‌های ضریب تبیین (R^2)، خطای جذر میانگین مربعات (RMSE)، حداکثر خطا (ME)، مقایسه شدند. نتایج شبیه‌سازی مدل LARS-WG در دوره پایه نشان داد که مدل در شبیه‌سازی دمای حداقل و حداکثر دقت بیشتری نسبت به بارش دارد. میانگین عملکرد گندم برای دوره پایه ۷/۶۷ (تن بر هکتار بر فصل) به دست آمد. نتایج شبیه‌سازی نشان داد که میانگین عملکرد گندم در دوره‌های آبی افزایش می‌یابد که این میزان در دوره ۲۰۸۱-۲۱۰۰ و مدل HadGEM2-ES با سناریوی RCP8.5 بیشترین مقدار را دارد. میانگین نیاز آبی در دوره پایه ۱۲۷/۱۴ (میلی‌متر بر فصل) به دست آمد که این میزان در دوره‌های آبی کاهش می‌یابد. بنابراین، پیش‌بینی افزایش عملکرد در دشت قزوین بیانگر آن است که این منطقه از پتانسیل مطلوبی در کشت و توسعه این محصول برخوردار خواهد بود که علاوه بر مساعد بودن شرایط اقلیمی، بهبود مدیریت و نهاده‌های کشاورزی نیز می‌تواند باعث افزایش عملکرد این محصول در طی سال‌های آبی گردد.

واژه‌های کلیدی: سناریوهای RCP، مدل‌های گردش عمومی اتمسفر، مدل LARS-WG، Aqua Crop

۱- دانشجوی دکتری گروه علوم و مهندسی آب، دانشگاه بین‌المللی امام خمینی (ره)، قزوین، ایران.

۲- دانشیار، گروه علوم و مهندسی آب، دانشگاه بین‌المللی امام خمینی (ره)، قزوین، ایران.

(*)- نویسنده مسئول: Email: ramezani@eng.ikiu.ac.ir

DOI: [10.22067/agry.2021.68517.1015](https://doi.org/10.22067/agry.2021.68517.1015)

مقدمه

تغییرات اقلیمی اخیر به‌طور گسترده بر اکوسیستم طبیعی تأثیر گذاشته است. اتمسفر و اقیانوس‌ها گرم‌تر شده‌اند، مقادیر برف و یخچال‌های قطبی کاهش داشته‌اند و سطح دریاها بالاتر آمده‌اند. ادامه انتشار گازهای گلخانه‌ای سبب گرم‌تر شدن هوا و تغییرات بیشتری در مؤلفه‌های اقلیمی خواهد شد (IPCC, 2014).

امروزه، تغییر اقلیم و پدیده گرمایش، یکی از مباحث مهم و کلیدی است. تغییر اقلیم بر بخش‌های مختلف مانند کشاورزی، جنگل‌داری، آب، صنعت، گردشگری، انرژی و غیره اثر می‌گذارد (Kemfert, 2009). تولید محصولات زراعی مستقیماً به شرایط اقلیمی وابسته است و اقلیم تعیین‌کننده منابع تولید و بهره‌وری فعالیت‌های کشاورزی است (Reilly, 1999). بنابراین، پیش‌بینی بلندمدت متغیرهای اقلیمی و در نظر گرفتن تمهیدات لازم به‌منظور تعدیل اثرهای سوء ناشی از تغییرات اقلیمی مورد توجه بسیاری از پژوهشگران جهان قرار گرفته است. به همین منظور، مدل‌های گردش عمومی جو توسعه یافته‌اند. در این مدل‌ها، شبیه‌سازی عنصرهای اقلیمی در مقیاس بزرگ مکانی و زمانی انجام می‌شود و برای استفاده این عنصرهای اقلیمی در مقیاس کوچک‌تر، می‌بایست خروجی این مدل‌ها با تکنیک‌های مختلف کوچک‌مقیاس شوند (Samadi et al., 2007). روش‌های ریزمقیاس‌نمایی به‌طور کلی، به دو دسته دینامیکی و آماری تقسیم می‌شوند. از مدل‌های ریزمقیاس دینامیکی می‌توان به MM5، REGCM3 و PRECIS اشاره کرد. برای انواع مدل‌های ریزمقیاس آماری می‌توان USCLIMATE، ASD، LARS WG، CLIGEN، SDSM و SDSM را نام برد. روش آماری در مقایسه با روش دینامیکی، در مواقعی که هزینه کمتر و ارزیابی سریع‌تر عوامل مؤثر بر تغییرات آب و هوایی مورد نیاز باشد، مزیت‌ها و قابلیت‌های بیشتری دارد (Zarei et al., 2019).

در زمینه مدل‌های ریزمقیاس‌نمایی و اثرات تغییر اقلیم پژوهش‌های متعددی در سطح جهانی صورت گرفته است. در مطالعه‌ای به بررسی اثرات تغییر اقلیم بر عملکرد محصولات کشاورزی پرداختند. نتایج نشان داد که در اثر تغییرات اقلیمی، عملکرد اکثر محصولات کاهش و هزینه‌های تولید افزایش می‌یابد (Azuara et al., 2011). پژوهشگران با استفاده از مدل SDSM تحت سناریوهای RCP به بررسی اثرات تغییر اقلیم در حوضه رودخانه خیانگ جیان چین پرداختند. نتایج نشان داد که در دوره‌های آبی، میزان تبخیر تعرق پتانسیل در تمامی سناریوها افزایش می‌یابد و بیشترین افزایش در سناریوی RCP8.5 مشاهده شد (Tao et al., 2015). محققان اثر

تغییر اقلیم بر تقاضای آب کشاورزی تحت سناریوهای اقلیمی RCP2.6، RCP4.5 و RCP8.5 در حوضه شانکسی در چین را مورد بررسی قرار دادند. نتایج پژوهش نشان داد، در دوره آبی درجه حرارت، بارش مؤثر و رطوبت نسبی افزایش و سرعت باد کاهش می‌یابد. همچنین نیاز آبیاری محصولات اصلی با توجه به بارش مؤثر روند نزولی دارد (Sun et al., 2018). در مطالعه‌ای، اثر تغییر اقلیم را بر هیدرولوژی و تولید محصول گندم (*Triticum aestivum* L.) در جنوب استرالیا بررسی کردند. نتایج نشان داد که با وجود کاهش بارندگی، محصول شبیه‌سازی شده کاهش نداشت (Ludwig & Asseng., 2008). در پژوهشی به بررسی اثر تغییر اقلیم بر پتانسیل تولید ذرت (*Zea mays* L.) در غنا پرداختند. نتایج نشان داد که متوسط عملکرد ذرت در افق ۲۰۳۰ تحت سناریوی RCP8.5، ۵۷ درصد افزایش خواهد یافت (Srivastava et al., 2018). در پژوهشی به تأثیر تغییر اقلیم بر بیلان آب و رواناب با استفاده از مدل SWAT در حوضه آبخیز سد لتیان تحت دو سناریوی RCP2.6 و RCP8.5 با استفاده از مدل ریزمقیاس‌نمایی Lars-WG پرداخته شد (Jalali et al., 2020). در پژوهشی، تأثیر تغییر اقلیم بر خشکسالی و پیش‌بینی رواناب حوضه رودخانه نکا را طی دوره‌های آبی را تحت دو سناریوی RCP2.6 و RCP8.5 بررسی کردند (Babolhakami et al., 2020). در بررسی که در شمال شرق ایران در شرایط اقلیم با دو مدل اقلیمی HadCM3 و CGCM2 با دو سناریوی A2 و B2 صورت گرفت نتایج نشان داد، بین عملکرد دانه گندم و بارندگی ارتباط مثبت و قابل توجهی وجود دارد و با افزایش بارندگی عملکرد دانه گندم نیز افزایش می‌یابد (Eyshi Rezaie & Bannayan, 2012). پژوهشگران تأثیر تغییر اقلیم را بر تولید گندم در مناطق اصلی تولید گندم در چین بررسی کردند. نتایج پژوهش آن‌ها نشان داد که عملکرد گندم در مناطق شمال چین در آینده کاهش می‌یابد، در حالی که عملکرد در مناطق جنوبی افزایش نشان داد. همچنین در شرایط آبیاری کامل عملکرد گندم تا حدودی در بین همه مناطق تولید، افزایش یافت (Lv et al., 2013). در پژوهشی در شمال شرقی ایالات متحده، یک ارزیابی منطقه‌ای از عملکرد گندم با استفاده از مدل‌های اقلیمی به همراه دو سناریوی RCP انجام شد (Karimi et al., 2017). در این پژوهش پیش‌بینی شد که در دهه ۲۰۷۰ بارندگی و میانگین دما در طول دروه رشد گندم زمستانه نسبت به دوره پایه افزایش خواهد یافت. از سوی دیگر، نتایج شبیه‌سازی‌های این پژوهش افزایش عملکرد در کل منطقه را نشان دادند. در مطالعه‌ای در پاکستان به بررسی اثرات متغیرهای تغییر اقلیم بر تولید گندم پرداختند. نتایج تحقیقات آن‌ها نشان داد که تغییر اقلیم، تولید گندم در پاکستان را تحت تأثیر قرار

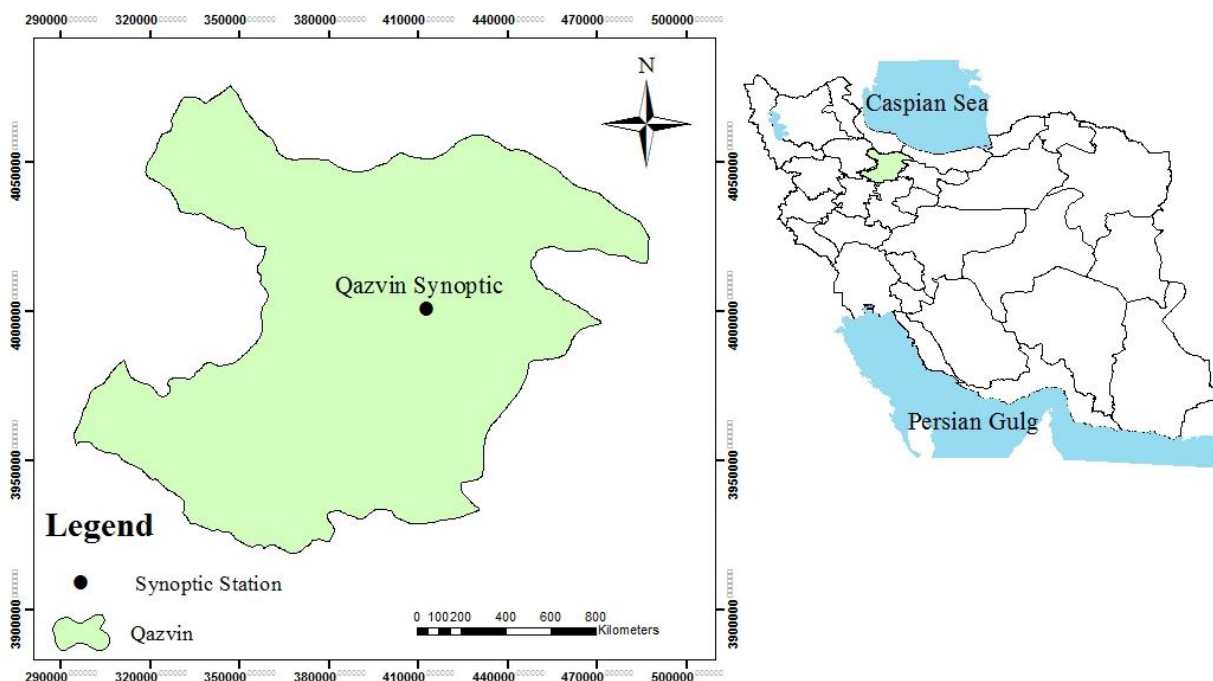
نمی‌دهد (Janjua et al., 2014).

منطقه مورد مطالعه

استان قزوین با مساحتی معادل ۱۵۸۲۱ کیلومترمربع به ترتیب بین طول جغرافیایی ۴۸ درجه و ۵۳ دقیقه و ۳۶ درجه و ۵۰ دقیقه و عرض جغرافیایی ۵۰ درجه و ۳۵ دقیقه و ۳۵ درجه و ۱۸ دقیقه در حوزه مرکزی ایران واقع شده است. موقعیت استان قزوین در شکل ۱ نشان داده شده است. میانگین بارش سالانه در سطح استان از ۲۱۰ میلی‌متر در بخش‌های شرقی تا بیش از ۵۵۰ میلی‌متر در ارتفاعات شمال شرقی متغیر است. در این مطالعه از داده‌های ایستگاه سینوپتیک قزوین استفاده شده است. طول جغرافیایی این ایستگاه ۵۰/۰۳ و عرض جغرافیایی آن ۳۶/۱۵ و ارتفاع آن ۱۲۷۹/۲ می‌باشد.

در این پژوهش به بررسی اثر تغییر اقلیم بر عملکرد و نیاز آبی گندم در ایستگاه سینوپتیک قزوین با استفاده از مدل‌های گردش عمومی موجود در مدل LARS-WG (EC-Earth, GFDL-CM3)، و سناریوهای (MPI-ESM-MR, MIROC5, HadGEM2-ES) RCP2.6، RCP4.5 و RCP8.5 در دوره پایه ۲۰۱۵-۱۹۸۶ و در دوره های آتی ۲۰۲۱-۲۰۴۰، ۲۰۴۱-۲۰۶۰، ۲۰۶۱-۲۰۸۰ و ۲۰۸۱-۲۱۰۰ پرداخته شده است.

مواد و روش‌ها



شکل ۱- منطقه مورد مطالعه

Fig. 1- Study area

استفاده قرار گرفته است، به همین منظور، این مدل برای محاسبه تبخیر تعرق روزانه محصول گندم برای دوره پایه (۲۰۱۵-۱۹۶۸) و دوره‌های شبیه‌سازی شده انتخاب شده است. مدل هارگریوز سامانی برای برآورد تبخیر تعرق روزانه در معادله ۱ آورده شده است.

$$ET_0 = 0.0135K_T R_a TD^{0.5} (T + 17.8) \quad (1) \text{ معادله}$$

$$K_T = 0.00185TD^{0.5} - 0.0433TD + 0.4023 \quad (2) \text{ معادله}$$

$$TD = T_{max} - T_{min} \quad (3) \text{ معادله}$$

که در آن، T_{max} و T_{min} : به ترتیب حداقل و حداکثر دمای هوا در

برآورد تبخیر تعرق مرجع

مدل تبخیر تعرق هرگریوز-سامانی برای محاسبه تبخیر تعرق روزانه نیازی به اطلاعات گسترده ندارد. در پژوهشی که به ارزیابی روش‌های تبخیر و تعرق پتانسیل در دشت قزوین پرداخته شد، نتایج نشان داد که روش هارگریوز سامانی با $r=0.87$ و $RMSE=0.34$ میلی‌متر در روز بهترین روش برای برآورد تبخیر تعرق پتانسیل در دشت قزوین است (Nazari & Kaviani, 2016). همچنین این مدل در بررسی اثرات تغییر اقلیم بر محصولات کشاورزی در مطالعات سایر محققان (Nikbakhtshahbazi, 2018; Koohi et al., 2020) مورد

دوره مورد نظر بر حسب درجه سانتی‌گراد، R_a : تابش خورشیدی در بالای جو و K_T : ضریب تصحیح است.

معرفی مدل Aqua Crop

مدل گیاهی Aqua Crop عملکرد قابل انتظار محصول را تحت رژیم‌های آبیاری مختلف شبیه‌سازی می‌کند (Soria-Ruiz et al., 2012). Aqua Crop مستقیماً عملکرد محصول و آب مصرفی را مرتبط کرده و مقدار تولید زیست‌توده حاصل از تعرق واقعی محصول را بر اساس پارامتر بهره‌وری که هسته اصلی Aqua Crop است تخمین می‌زند (Steduto et al., 2012). مدل Aqua Crop همانند مدل‌های crop wat و Budget از معادله دورنبوس و کاسام که در نشریه ۳۳ فائو برای محاسبه ضریب حساسیت کم‌آبی بر اساس تعیین نسبت تبخیر-تعرق نسبی و عملکرد نسبی بیان شده است، استفاده می‌کند و هر سه مدل بر اساس معادله بیلان آب عمل می‌کنند.

$$\frac{Y_x - Y_a}{Y_x} = K_y \left(\frac{ET_x - ET_a}{ET_x} \right) \quad (4)$$

که در آن، Y_x : عملکرد بیشینه، Y_a : عملکرد واقعی، ET_x : تبخیر-تعرق بیشینه، ET_a : تبخیر-تعرق واقعی و K_y : ضریب حساسیت به کم‌آبی (ضریب واکنش عملکرد به آب) می‌باشد. $\left(\frac{Y_x - Y_a}{Y_x} \right)$: معرف کاهش محصول و $\left(\frac{ET_x - ET_a}{ET_x} \right)$: بیان‌کننده تنش آبی است.

مدل با تفکیک تبخیر-تعرق (ET) به تعرق از گیاه (Tr) و تبخیر از سطح (E) و بسط مدل رشد اولیه^۱ تا پیری پوشش گیاهی^۲، برآورد و پیش‌بینی عملکرد به‌عنوان تابعی از زیست‌توده نهایی^۳ و شاخص برداشت و تفکیک تنش آبی در چهار بخش: رشد پوشش تاجی، پیری پوشش تاجی گیاه، تعرق از سطح گیاه و شاخص برداشت محصول (HI)^۴ توسعه یافته است (Steduto et al., 2009).

برآورد تعرق گیاه (Tr)، سبب تفکیک مصارف مفید و غیرمفید می‌شود. تعرق روزانه به‌واسطه تبخیر-تعرق پتانسیل روزانه (ET_0) و بهره‌وری آب نرمال شده (WP^*) مطابق با معادله ۵ به زیست‌توده گیاهی یا قسمت هوایی گیاه تبدیل می‌شود.

$$B_i = WP^* \times \left(\frac{Tr}{ET_0} \right) \quad (5)$$

WP^* بهره‌وری آب نرمال شده و مقدار آن برای گیاه مشخص در شرایط اقلیمی مشابه، ثابت است و پس از نرمال کردن بهره‌وری آب برای شرایط اقلیمی متفاوت، مقدار آن به یک پارامتر ثابت تبدیل می‌شود. مزیت معادله مورد استفاده در مدل Aqua Crop این است که شبیه‌سازی فرایندهای رشد گیاه در این نرم‌افزار با استفاده از گام‌های زمانی روزانه صورت می‌گیرد، در حالی که در معادله ۴،

شبیه‌سازی به‌صورت ماهانه یا فصلی و بر اساس ضریب K_y است. از دیگر ویژگی‌های مدل این است که به‌جای شاخص سطح برگ از پوشش سبز سطح پوشاننده زمین استفاده می‌کند، که در آن شاخص درجه روز رشد اهمیت ویژه‌ای دارد و به‌جای ضریب کاهش عملکرد محصول به بررسی شاخص بهره‌وری می‌پردازد. این مدل در دامنه وسیعی از محصولات زراعی همچون: علوفه‌ای، سبزیجات، غلات، میوه، روغنی و غده‌ای قابل استفاده است (Steduto et al., 2009). در تمام دوره رشد گیاه، مقدار آب ذخیره شده در ناحیه ریشه از طریق بیلان آبی جریان ورودی (آبیاری و بارندگی) و خروجی (رواناب، نفوذ عمقی و تبخیر-تعرق) در ناحیه ریشه شبیه‌سازی می‌شود. شدت ضرایب تنش آبی (K_s) مؤثر بر توسعه پوشش تاجی (CC)، شدت تعرق، پیری و کاهش پوشش تاجی و شاخص برداشت (HI) به‌وسیله کسر تخلیه آب در ناحیه ریشه تعیین می‌شود. به‌علاوه برخی جنبه‌های مدیریتی آبیاری و زراعی از طریق تأثیراتی که بر توسعه ریشه گیاه، بهره‌وری آب و تعدیل محصول به تنش دارند، بیان می‌شوند. در نهایت، مقدار عملکرد محصول با استفاده از جرم قسمت هوایی پوشش گیاهی شبیه‌سازی شده و شاخص برداشت تعدیل شده محاسبه می‌شود.

معرفی مدل LARS-WG

یکی از متداول‌ترین روش‌ها برای ارزیابی اقلیم آینده، استفاده از مدل‌های گردش عمومی جو می‌باشد. این مدل‌ها، معتبرترین ابزار برای بررسی اثرات پدیده تغییر اقلیم بر سیستم‌های مختلف محسوب شده و قادرند پارامترهای اقلیمی را برای یک دوره طولانی مدت بر اساس سناریوهای تأیید شده IPCC مدل‌سازی نمایند (Khaliliaqdam et al., 2012). گروهی از این مدل‌ها، اطلاعات مفیدی درباره پاسخ جو به افزایش غلظت گازهای گلخانه‌ای فراهم می‌کنند. با توجه به وضوح مکانی کم در مدل‌های گردش عمومی جو، به ناچار مدل‌های ریزمقیاس‌نمایی پیشنهاد شدند. این مدل‌ها با استفاده از خروجی‌های مدل‌های گردش عمومی و به‌کارگیری سناریوهای اقلیمی، داده‌های گردش عمومی در مقیاس درشت را به مقیاس‌های ریزتر تبدیل می‌کنند. روش‌های متداولی برای ریزمقیاس‌نمایی وجود دارد که شامل استفاده از سلول اصلی یا روش

3- Biomass = B

4-Harvest Index

1- Initial

2-Senescence

گونگون گازهای گلخانه‌ای هستند. سناریوهای به‌کار رفته در مدل LARS-WG دارای تعاریفی به شرح ذیل هستند:

RCP2.6: به معنای کمترین نرخ افزایش گازهای گلخانه‌ای و واداشت تابشی ناشی از آن می‌باشد. مطابق این سناریو حداکثر مقدار انرژی تابشی قبل از سال ۲۱۰۰ به حدود ۳ وات بر مترمربع می‌رسد. همچنین، انتشار گاز کربن دی‌اکسید از سال ۲۰۲۰ کاهش می‌یابد و تا سال ۲۱۰۰ به صفر خواهد رسید. میزان انتشار گاز متان نیز تا سال ۲۱۰۰ به نصف مقدار موجود در سال ۲۰۲۰ تقلیل می‌یابد. همچنین اکسید سولفور به ۱۰ درصد مقدار موجود در دهه ۱۹۸۰ تا ۱۹۹۰ کاهش می‌یابد. در صورت وقوع سناریوی RCP2.6 افزایش دمای کره زمین تا سال ۲۱۰۰ در حدود زیر دو درجه سانتی‌گراد خواهد بود.

RCP4.5: به عنوان سناریوی متوسط شناخته می‌شود که انرژی تابشی بعد از سال ۲۱۰۰ میلادی به ۴/۵ وات بر مترمربع خواهد رسید. آستانه این سناریو برای انتشار گازهای گلخانه‌ای در حدود سال ۲۰۴۰ میلادی اتفاق می‌افتد و بعد از آن به صورت کاهش می‌باشد. به طور جزئی‌تر، دی‌اکسید کربن تا سال ۲۰۴۵ میلادی شروع به کاهش می‌نماید و تا سال ۲۱۰۰ مقدار آن به نصف مقدار سال ۲۰۵۰ خواهد رسید. همچنین افزایش انتشار گاز متان تا سال ۲۰۵۰ متوقف شده و مقدار آن رفته رفته به ۷۵ درصد سطح متان موجود در سال ۲۰۴۰ می‌رسد. مقدار سطح گاز دی‌اکسید سولفور نیز به ۲۰ درصد آنچه که در دهه ۱۹۸۰ تا ۱۹۹۰ بوده، خواهد رسید. برای تحقق سناریوی RCP4.5 انتشار منفی گاز دی‌اکسید کربن همانند جذب توسط درختان باید در حدود دو گیگاتن در سال باشد.

تناسبی^۱، روش‌های آماری^۲ و روش‌های دینامیکی^۳ می‌باشند. روش‌های ریزمقیاس‌نمایی دینامیکی نیاز به سخت‌افزارهای قوی داشته و زمان‌بر می‌باشند. در مقابل، مدل‌های آماری ارزان‌تر بوده و سرعت بالاتری دارند. می‌توان از مدل‌های آماری بدون نیاز به ابررایانه‌ها و یا رایانه‌های سریع استفاده کرد.

از جمله مدل‌های آماری، مدل LARS-WG می‌باشد. این مدل مولد آب و هوایی بر پایه روش سری‌ها است که می‌تواند به منظور شبیه‌سازی داده‌های هواشناسی در یک ایستگاه تحت شرایط اقلیمی فعلی و آینده استفاده شود. نسخه اولیه این مدل در بوداپست مجارستان در سال ۱۹۹۱ به عنوان بخشی از پروژه ارزیابی ریسک‌های کشاورزی توسط Racsko و همکاران ابداع شد. سپس توسط Semenov و Barrow ارتقا یافت. کارایی دو مدل LARS-WG^۴ و WGEN^۵ در ۱۸ ایستگاه آمریکا، اروپا و آسیا بررسی و معلوم شد که مدل LARS نتایج بهتری تولید می‌کند.

در مدل LARS-WG، مدل‌سازی بارش و احتمال وقوع آن از روش توزیع نیمه‌تجربی و زنجیره‌ی مارکوف، مدل‌سازی تابش بر اساس توزیع نیمه‌تجربی و مدل‌سازی دما با استفاده از سری فوریه انجام می‌شود. در گزارش پنجم تغییر اقلیم مدل‌های گردش عمومی مختلفی ارائه شده است. نام این مدل‌ها به همراه مرکز ارائه‌دهنده و سناریوهای موجود در مدل LARS-WG به شرح جدول ۱ می‌باشد:

سناریوهای واداشت تابشی^۶ تغییر اقلیم

سناریوهای تغییر اقلیمی ارائه شده در گزارش پنجم به صورت RCP نمایش داده می‌شوند که نماینده‌های خطوط سیر غلظت‌های

جدول ۱- مدل‌های گردش عمومی جو و سناریوهای تغییر اقلیمی موجود در مدل LARS-WG
Table 1- Atmospheric circulation models and climate change scenarios in LARS-WG model

نام مدل گردش عمومی General circulation model name	نام مرکز ارائه‌دهنده Name of provider center	سناریوهای تغییر اقلیم Climate change scenarios		
		RCP2.6	RCP4.5	RCP8.5
EC-Earth	European community Earth-System			
GFDL-CM3	Geophysical Fluid Dynamics Laboratory			
HadGEM2-ES	Hadley Centre Global Environment			
MIROC5	International Center for Earth Simulation			
MPI-ESM-MR	Max Planck Institute for Meteorology Earth System			

4- Long Ashton research station weather generator
5- Weather generator
6- Representative concentration pathways

1- Proportional downscaling
2- Statistical downscaling
3- Dynamical downscaling

برای محاسبه ضریب تبیین از نرم‌افزار اکسل استفاده شد. ریشه دوم میانگین خطا (RMSE) که به شکل معادله ۶ نشان داده می‌شود، یکی دیگر از آماره‌هایی است که معمولاً از آن برای ارزیابی دقت پیش‌بینی‌های یک مدل در برابر مشاهده‌ها استفاده می‌شود. این آماره در واقع واریانس خطای مدل را در پیش‌بینی مقادیر واقعی نشان می‌دهد.

بنابراین، هر چه مقدار این آماره به صفر نزدیک‌تر باشد، مدل خطای کمتری در پیش‌بینی مقادیر مشاهده‌ای خواهد داشت.

$$RMSE = \sqrt{\frac{\sum_{i=1}^n (O_i - P_i)^2}{n}} \quad \text{معادله (۶)}$$

شاخص ME، بیش‌ترین خطا در مدل را نشان می‌دهد که با استفاده از معادله ۷ محاسبه می‌شود. مقدار زیاد ME نشان‌دهنده بدترین حالت کارکرد است.

$$ME = \max |O_i - P_i| \quad \text{معادله (۷)}$$

که در این معادله‌ها، O_i و P_i : مقدار مشاهده‌ای و پیش‌بینی شده، \bar{O} : میانگین مقادیر مشاهده‌ای و n : تعداد داده‌ها یا طول سری زمانی است.

نتایج و بحث

ارزیابی متغیرهای اقلیمی

شکل ۲ میانگین نوسانات سالانه مؤلفه‌های اقلیمی طی بازه ۲۰۱۵-۱۹۸۶ را برای ایستگاه قزوین نشان می‌دهد. دمای حداقل و حداکثر با شیب نسبتاً ملایمی طی این سال‌ها افزایش و از طرف دیگر، مقدار بارش روند کاهشی داشته است.

در صورت وقوع این سناریو میزان افزایش دمای تا سال ۲۱۰۰ بین ۲ تا ۳ درجه سانتی‌گراد بوده و افزایش سطح دریا حدود ۳۵ درصد بیشتر از سناریوی RCP2.6 خواهد بود. با این حال، بسیاری از درختان و گونه‌های جانوری قادر به ادامه حیات تحت این سناریو نخواهند بود. **RCP8.5**: این سناریو به‌عنوان بدترین حالت وقوع تغییر اقلیمی شناخته می‌شود. زیرا انتشار گازهای گلخانه‌ای در آن طی قرن ۲۱ به صورت پیوسته افزایش یافته، به گونه‌ای که انرژی تابشی به حدود ۸/۵ وات بر مترمربع قبل از سال ۲۱۰۰ خواهد رسید.

شاخص‌های آماری

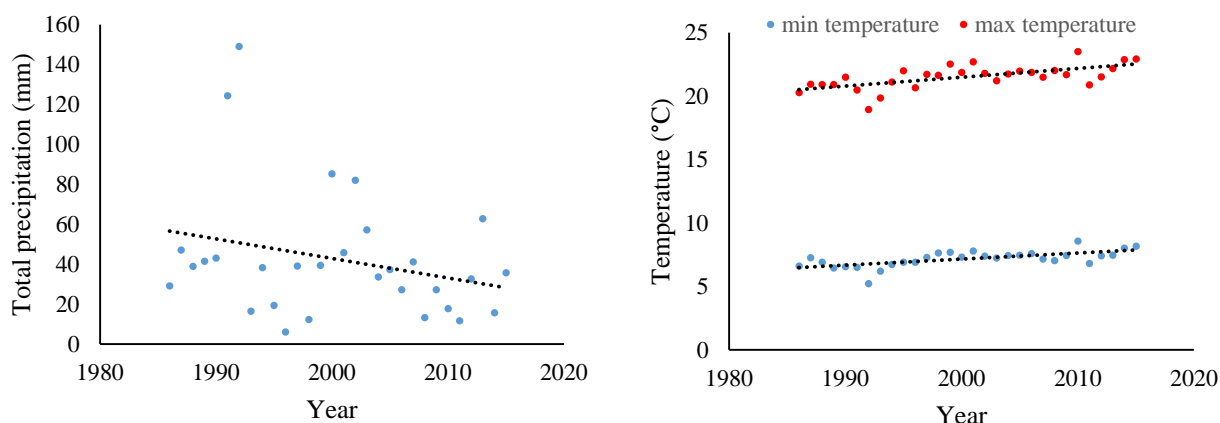
در این تحقیق، نتایج حاصل از سناریوها با داده ایستگاه قزوین برای محصول گندم، توسط معیارهای آماری خطا شامل آماره‌های ضریب تبیین (R^2)، خطای جذر میانگین مربعات (RMSE) و خطا (ME) مقایسه شدند.

ضریب تبیین یکی از مهم‌ترین معیارهای ارزیابی ارتباط میان دو متغیر x و y است که به‌صورت بی بعد نمایش داده می‌شود. این ضریب ارتباط مستقیمی با ضریب همبستگی دارد. به این ترتیب که با جذر گرفتن از ضریب تبیین می‌توان ضریب همبستگی میان دو سری مورد بررسی را به دست آورد. همانند ضریب همبستگی هر چه مقدار ضریب تبیین به یک نزدیک‌تر باشد، ارتباط قوی‌تری میان دو متغیر وجود دارد. در صورت ضرب ضریب تبیین در عدد ۱۰۰ مقدار به دست آمده بیان‌گر درصد واریانس تغییرات متغیر x است که با متغیر y توصیف می‌شود. طبقه‌بندی ضریب پیرسون در جدول ۲ آورده شده است (Joinior et al., 2017).

جدول ۲- تقسیم‌بندی نتایج شبیه‌سازی ضریب پیرسون

Table 2- Classification of Pearson coefficient

نتایج تخمین	بدون همبستگی	ضعیف	متوسط	قوی
Estimation result	Not correlated	Weak	Moderate	Strong
R^2	<0.1	0.1 to 0.2	0.2 to 0.5	>0.5



شکل ۲- تغییرات مؤلفه‌های بارش و حداقل و حداکثر دما طی سال‌های ۲۰۱۵-۱۹۸۶

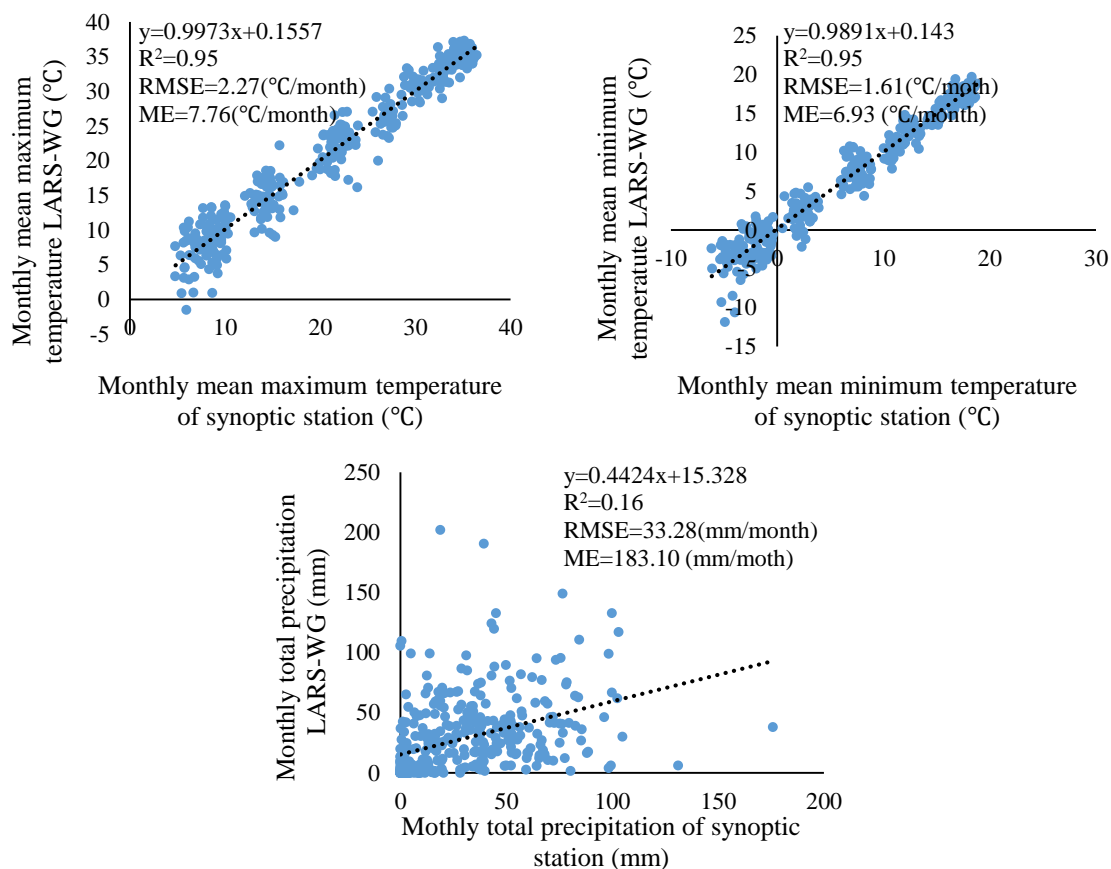
Fig. 2- Precipitation and minimum and maximum temperature changes during the years 1986-2015

ضریب تبیین برای بارش شبیه‌سازی شده با مدل LARS-WG در شکل ۳ نشان می‌دهد که داده‌های شبیه‌سازی شده و داده‌های ایستگاه سینوپتیک همبستگی بالایی ندارند و ضریب تبیین به کمتر از ۰/۵ کاهش می‌یابد. مقدار RMSE و ME به ترتیب برابر ۳۳/۲۸ (میلی‌متر بر ماه) و ۱۸۳/۱۰ (میلی‌متر بر ماه) به دست آمد. نتایج نشان می‌دهد که مدل در شبیه‌سازی دمای حداقل و حداکثر دقت بیشتری نسبت به بارش دارد. در پژوهشی عملکرد مدل‌های ریزمقیاس‌نمایی LARS-WG و SDSM در شبیه‌سازی تغییرات اقلیمی در حوضه آبریز دریاچه ارومیه بررسی کردند. نتایج حاصل نشان داد که هر دو مدل در شبیه‌سازی دما دقت بیشتری نسبت به بارش دارند که با نتایج مطالعه حاضر هم‌خوانی دارد (Goudarzi et al., 2015).

درصد تغییرات دمای حداقل، حداکثر و بارش در دوره‌های آبی نسبت به دوره پایه در جداول ۳ تا ۵ آورده شده است.

برای ارزیابی، از مدل‌های گردش عمومی موجود در مدل LARS-WG (MIROC5, HadGEM2-ES, GFDL-CM3, EC-Earth, MPI-ESM-MR) و سناریوهای RCP2.6, RCP4.5 و RCP8.5 در دوره پایه ۲۰۱۵-۱۹۸۶ استفاده شد. نیاز آبی و عملکرد گندم در دوره پایه و دوره‌های آبی با نرم‌افزار Aqua Crop محاسبه شد. نتایج ارزیابی داده‌های بارش، دمای حداقل و حداکثر ایستگاه سینوپتیک قزوین و شبیه‌سازی شده با مدل LARS-WG در دوره پایه (۲۰۱۵-۱۹۸۶) در شکل ۳ آورده شده است.

ضریب تبیین برای دمای حداقل و حداکثر و شبیه‌سازی شده با مدل LARS-WG در شکل ۳ نشان می‌دهد که داده‌های شبیه‌سازی شده و داده‌های ایستگاه سینوپتیک همبستگی بالایی دارند. مقدار ضریب تبیین بیش از ۹۰ درصد نشان می‌دهد که بیش از ۹۰ درصد واریانس موجود در داده‌های دمای حداقل و حداکثر ایستگاه سینوپتیک با داده‌های مدل LARS-WG توصیف می‌شود. مقدار RMSE در دمای حداقل و حداکثر کمتر از سه درجه سانتی‌گراد است که بیانگر انحراف کم دمای شبیه‌سازی شده با مدل LARS-WG در مقایسه با دمای واقعی است. مقدار شاخص ME برای دمای حداقل برابر ۶/۹۳ (درجه سانتی‌گراد بر ماه) و برای دمای حداکثر برابر ۷/۷۶ (درجه سانتی‌گراد بر ماه) به دست آمد.



شکل ۳- نتایج ارزیابی ماهانه مجموع بارش، میانگین دمای حداقل و حداکثر ایستگاه سینوپتیک قزوین و شبیه‌سازی شده با مدل LARS-WG در دوره پایه (۱۹۸۶-۲۰۱۵)

Fig. 3- Results of monthly evaluation of total precipitation, mean minimum and maximum temperature of Qazvin synoptic station and simulated with LARS-WG model in the baseline (1986-2015)

جدول ۳- درصد تغییرات دمای حداقل تحت سه سناریو و دوره‌های آتی در مقایسه با دوره پایه (۱۹۸۶-۲۰۱۵)

Table 3- Percentage of minimum temperature changes under the three scenarios and future periods compared to the base period (1986-2015)

مدل‌های گردش عمومی GCMs	سناریوها Scenario	2021-2040	2041-2060	2061-2080	2081-2100
EC-EARTH	RCP4.50	13.03	23.14	29.17	28.29
	RCP8.50	12.94	27.86	45.45	44.56
GFDL-CM3	RCP4.50	19.48	30.80	39.01	38.13
	RCP8.50	24.64	37.17	55.75	54.88
HadGEM2-ES	RCP2.60	19.18	26.03	24.05	23.17
	RCP4.50	16.44	26.95	37.83	36.95
MIROC5	RCP8.50	21.47	36.28	57.93	57.06
	RCP4.50	12.13	21.11	26.19	25.31
MPI-ESM-MR	RCP8.50	12.25	27.51	42.00	41.13
	RCP4.50	13.15	21.54	28.95	28.08
	RCP8.50	15.59	31.03	47.87	47.00

جدول ۴- درصد تغییرات دمای حداکثر تحت سه سناریو و دوره‌های آبی در مقایسه با دوره پایه (۱۹۸۶-۲۰۱۵)

Table 4- Percentage of maximum temperature changes under the three scenarios and future periods compared to the base period (1986-1986)

مدل‌های گردش عمومی GCMs	سناریوها Scenario	2021-2040	2041-2060	2061-2080	2081-2100
EC-EARTH	RCP4.50	4.08	7.46	9.48	9.44
	RCP8.50	4.04	9.06	14.91	14.87
GFDL-CM3	RCP4.50	8.24	13.65	17.23	17.18
	RCP8.50	10.33	16.60	24.59	24.53
HadGEM2-ES	RCP2.60	7.14	10.72	9.09	9.03
	RCP4.50	6.89	10.43	15.95	15.90
	RCP8.50	8.47	14.67	23.17	23.12
MIROC5	RCP4.50	4.94	8.32	11.37	11.31
	RCP8.50	4.00	10.72	15.97	15.91
MPI-ESM-MR	RCP4.50	5.82	8.10	11.77	11.72
	RCP8.50	6.05	11.78	18.90	18.86

جدول ۵- درصد تغییرات بارش تحت سه سناریو و دوره‌های آبی در مقایسه با دوره پایه (۱۹۸۶-۲۰۱۵)

Table 5- Percentage of precipitation changes under the three scenarios and future periods compared to the base period (1986-2015)

مدل‌های گردش عمومی GCMs	سناریوها Scenario	2021-2040	2041-2060	2061-2080	2081-2100
EC-EARTH	RCP4.50	9.73	10.70	13.86	0.34
	RCP8.50	11.28	16.69	12.03	-1.31
GFDL-CM3	RCP4.50	4.03	0.37	-3.65	-16.11
	RCP8.50	0.53	-0.05	-2.04	-13.44
HadGEM2-ES	RCP2.60	17.72	12.84	22.93	9.02
	RCP4.50	9.24	25.72	18.92	5.05
	RCP8.50	7.39	12.00	17.98	4.12
MIROC5	RCP4.50	4.71	14.23	0.71	-10.63
	RCP8.50	15.92	7.21	11.85	-1.13
MPI-ESM-MR	RCP4.50	-4.02	8.01	-1.83	-13.51
	RCP8.50	7.61	-3.01	-7.12	-17.49

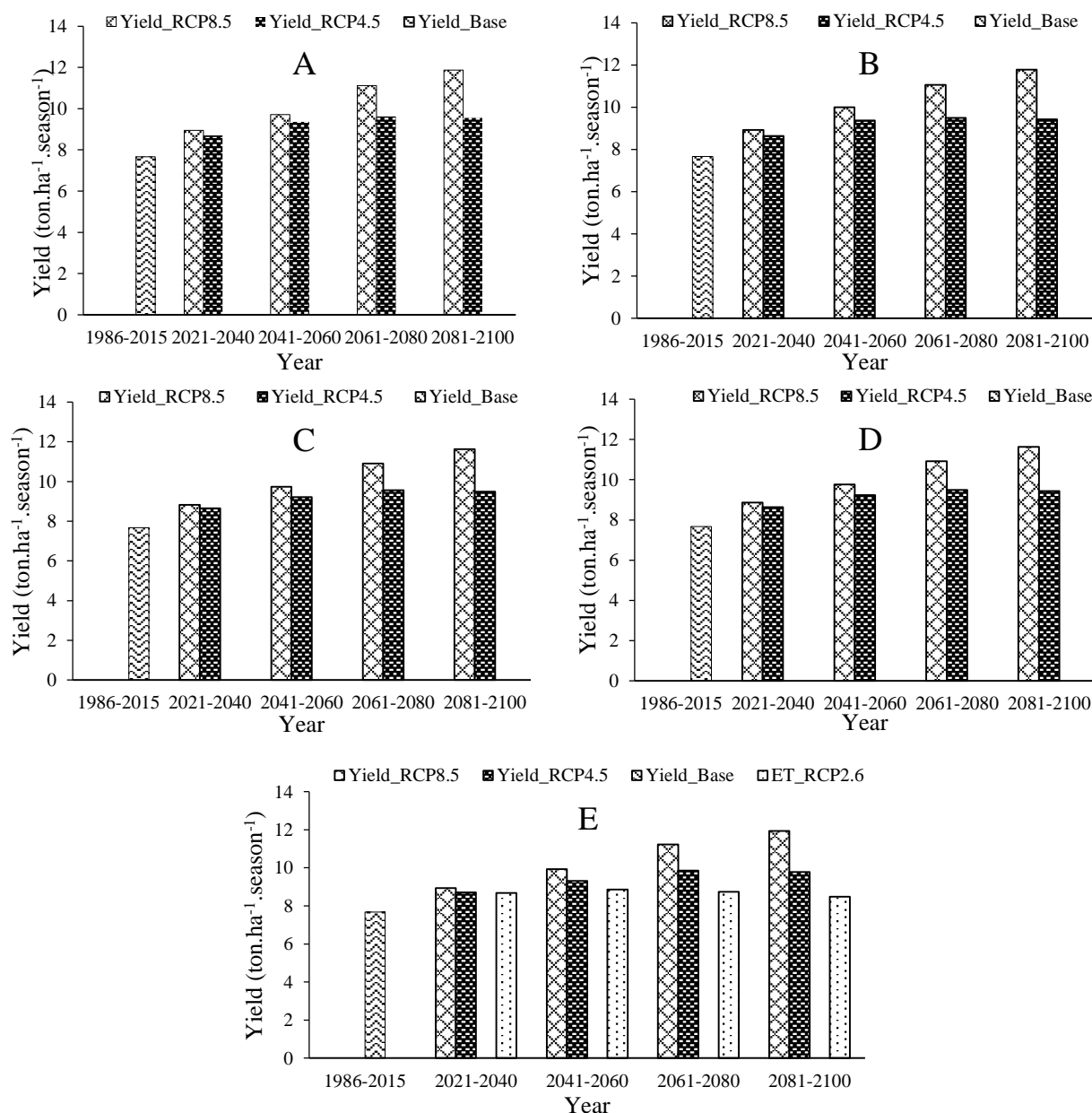
حاصل شد. نتایج جدول ۵ نشان می‌دهد که درصد تغییرات بارش شبیه سازی شده در مدل‌های متخلف و تحت سناریوهای RCP2.6، RCP4.5 و RCP8.5 در دوره‌های آبی نسبت به دوره پایه بین ۲۵/۷۲ تا ۱۷/۴۹- درصد متغیر است. در پژوهشی برای بررسی تغییرات دمای حداقل، دمای حداکثر، بارش و ساعت آفتابی همدان در دوره ۲۰۴۵-۲۰۴۶ از مدل LARS-WG و سناریوهای A₁B و B₁ استفاده کردند. نتایج نشان داد که دمای حداقل و حداکثر افزایش می‌یابد و تغییرات بارش، هم به‌صورت افزایشی و هم به‌صورت کاهش برآورد شد (Asadi et al., 2020) که با نتیجه مطالعه حاضر هم‌خوانی دارد.

نتایج جدول ۳ نشان می‌دهد که دمای حداقل در همه مدل‌های (EC-Earth، HadGEM2-ES، MIROC5، GFDL-CM3 و MPI-ESM-MR) مورد بررسی تحت هر سه سناریو (RCP2.6، RCP4.5 و RCP8.5) در دوره‌های آبی (۲۰۸۰-۲۱۰۰، ۲۰۸۱-۲۰۶۰، ۲۰۶۱-۲۰۴۰ و ۲۰۴۱-۲۰۲۱) نسبت به دوره پایه (۱۹۸۶-۲۰۱۵) افزایش می‌یابد و بیشترین درصد تغییرات در مدل HadGEM2-ES تحت سناریوی RCP8.5 در دوره ۲۰۸۰-۲۰۶۱ محاسبه شده است. نتایج جدول ۴ نشان می‌دهد که دمای حداکثر در دوره‌های آبی نسبت به دوره پایه افزایش می‌یابد و بیشترین درصد تغییرات در مدل GFDL-CM3 تحت سناریوی RCP8.5 در دوره ۲۰۸۰-۲۰۶۱

ارزیابی عملکرد و نیاز آبی گندم

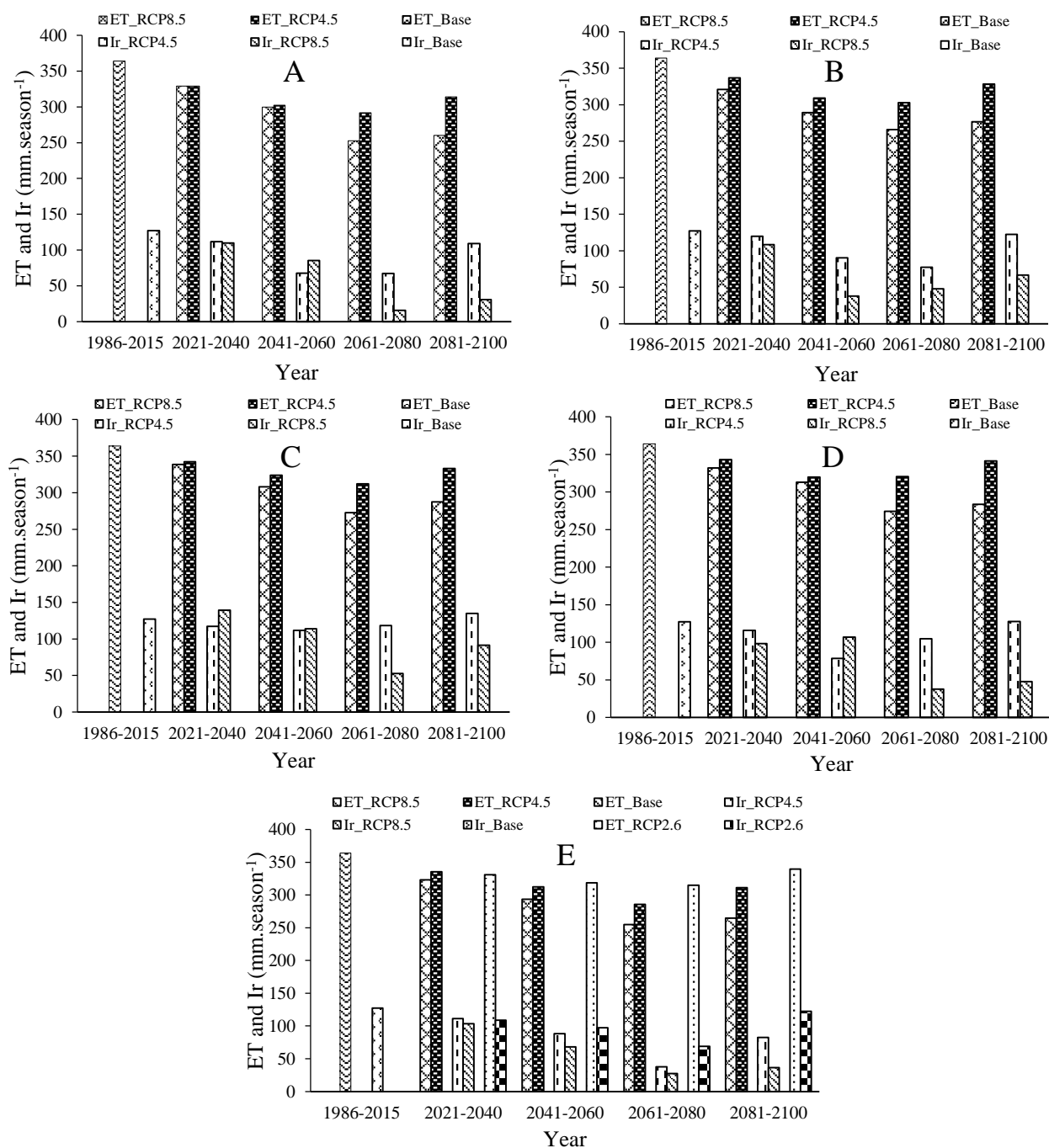
آنالیز حساسیت موضعی مدل Aqua Crop برای محصول گندم در دشت قزوین (Adabi et al., 2020)، واسنجی این مدل (Kamali et al., 2016) و کالیبراسیون مدل LARS-WG در دشت قزوین (Akbari et al., 2019) توسط محققان صورت گرفته و به همین

دلیل در این مطالعه به آنالیز حساسیت و واسنجی پرداخته نشده است. برای برآورد عملکرد و نیاز آبی در دوره‌های آبی از داده‌های بارش و دما پیش‌بینی شده مدل LARS-WG6 و دی‌اکسید کربن سناریوهای RCP2.6، RCP4.5 و RCP8.5 موجود در مدل Aqua Crop استفاده شد.



شکل ۴- الف) نتایج میانگین سالانه عملکرد گندم مدل EC-EARTCH، ب) نتایج میانگین سالانه عملکرد گندم مدل GFDL-CM3، ج) نتایج میانگین سالانه عملکرد گندم مدل MPI-ESM-MR، د) نتایج میانگین سالانه عملکرد گندم مدل MIROC5 و ه) نتایج میانگین سالانه عملکرد گندم مدل HadGEM2-ES برای بازه‌های (۲۰۲۱-۲۰۴۰)، (۲۰۴۱-۲۰۶۰)، (۲۰۶۱-۲۰۸۰) و (۲۰۸۱-۲۱۰۰)

Fig. 4- A) Results of annual mean yield EC-EARTCH model, B) Results of mean annual yield GFDL-CM3 model, C) Results of mean annual yield MPI-ESM-MR model, D) Results of mean annual yield MIROC5 model, and E) Results of mean annual yield HadGEM2-ES model for the periods (2021-2040), (2041-2060), (2061-2080) and (2081-2100)



شکل ۵- الف) نتایج میانگین سالانه نیاز آبی و تبخیر تعرق گندم مدل EC-EARTH، ب) نتایج میانگین سالانه نیاز آبی و تبخیر تعرق گندم مدل GFDL-CM3، ج) نتایج میانگین سالانه نیاز آبی و تبخیر تعرق گندم مدل MPI-ESM-MR، د) نتایج میانگین سالانه نیاز آبی و تبخیر تعرق گندم مدل MIROC5 و ه) نتایج میانگین سالانه نیاز آبی و تبخیر تعرق گندم مدل HadGEM2-ES برای بازه‌های (۲۰۲۱-۲۰۴۰)، (۲۰۴۱-۲۰۶۰)، (۲۰۶۱-۲۰۸۰) و (۲۰۸۱-۲۱۰۰)

Fig. 5- A) Results of the mean annual water requirement and evapotranspiration EC-EARTH model, B) Results of mean annual water requirement and evapotranspiration GFDL-CM3 model, C) Results of mean annual water requirement and evapotranspiration MPI-ESM-MR model, D) Results of mean annual water requirement and evapotranspiration MIROC5H model and E) Results mean annual water requirement and evapotranspiration HadGEM2-ES model for the periods (2021-2040), (2041-2060), (2061-2080) and (2081-2100)

تعرق گندم را داشته است. حداکثر تبخیر تعرق دوره پایه ۳۶۴ (میلی‌متر بر فصل) بود و حداکثر تبخیر تعرق پیش‌بینی شده در دوره ۲۰۲۱-۲۰۴۰ و مدل MIROC5 با سناریوی RCP4.5 برابر ۳۹۴ (میلی‌متر بر فصل)، در دوره ۲۰۴۱-۲۰۶۰ و مدل MPI-ESM-MR با سناریوی RCP4.5 برابر ۳۶۶ (میلی‌متر بر فصل)، در دوره ۲۰۸۰-۲۰۶۱ و مدل MIROC5 با سناریوی RCP4.5 برابر ۳۵۴ (میلی‌متر بر فصل) و دوره ۲۰۸۱-۲۱۰۰ و مدل MIROC5 با سناریوی RCP4.5 و مدل HadGEM2-ES با سناریوی RCP2.6 برابر ۳۸۳ (میلی‌متر بر فصل) محاسبه شد. یکی از دلایلی که نیاز آبی کاهش پیدا کرده است افزایش درصد بارندگی در دوره ۲۰۲۱-۲۰۴۰ است. در صد تبخیر تعرق در این دوره افزایشی بوده، اما به دلیل آنکه در صد بارندگی بیشتر بوده در نتیجه، نیاز آبی کاهش یافته است.

در پژوهشی که در برآورد نیاز آبی گندم زمستانه دشت گرگان در شرایط تغییر اقلیم انجام دادند، مقدار نیاز آبی گندم زمستانه بر اساس هر سه سناریوی انتشار RCP2.6، RCP4.5 و RCP8.5 کاهش داشته است که با نتایج مطالعه حاضر هم‌خوانی دارد (Arefinia et al., 2020). در پژوهشی به ارزیابی اثرات تغییر اقلیم بر عملکرد گندم آبی در استان خراسان رضوی پرداختند (Zeinali Mobarakeh et al., 2019). نتایج آن‌ها نشان داد که اگر تغییرات اقلیمی در آینده با افزایش غلظت دی‌اکسید کربن همراه باشد اثرات منفی اقلیمی از جمله افزایش دما و کاهش بارندگی بر رشد و گندم در استان خراسان رضوی خنثی گردیده و موجب افزایش عملکرد و کارایی مصرف آب گندم می‌شود. غلظت دی‌اکسید کربن یک متغیر مهم مورد نیاز در شبیه‌سازی رشد گیاهان C₃ است. افزایش غلظت دی‌اکسید کربن علی‌رغم نقش مستقیمی که در تغییرات اقلیمی دارد، به دلیل افزایش فتوسنتز، کاهش هدایت روزنه‌ای و در نتیجه، کاهش تعرق از سطح برگ موجب افزایش عملکرد و بهره‌وری آب گیاهان زراعی می‌شود (Burkart et al., 2011).

نتایج ارزیابی در صد تغییرات عملکرد، نیاز آبی گندم و تبخیر تعرق در جدول ۶ تا ۸ آورده شده است.

نتایج عملکرد، تبخیر تعرق و نیاز آبی گندم برآورد شده با مدل Aqua Crop در ایستگاه سینوپتیک قزوین برای سناریوهای RCP2.6، RCP4.5 و RCP8.5 و مدل‌های گردش عمومی موجود در مدل LARS-WG (EC-Earth، HadGEM2-GFDL-CM3) در دوره‌های آبی ۲۰۲۱-۲۰۴۰، ۲۰۴۱-۲۰۶۰، ۲۰۸۱-۲۱۰۰ و ۲۰۶۱-۲۰۸۰ در شکل‌های ۴ و ۵ آورده شده است.

میانگین عملکرد گندم برای دوره پایه ۷/۶۷ (تن بر هکتار بر فصل) به دست آمد. میانگین عملکرد در دوره‌های آبی افزایش می‌یابد که این میزان در مدل HadGEM2-ES با سناریوی RCP8.5 و دوره ۲۰۸۱-۲۱۰۰ بیشترین مقدار را دارد. نیاز آبی در دوره پایه ۱۲۷/۱۴ (میلی‌متر بر فصل) به دست آمد. میانگین نیاز آبی در دوره‌های آبی کاهش می‌یابد. حداکثر عملکرد گندم در دوره پایه (۲۰۱۵-۱۹۸۶) ۸/۵۹ (تن بر هکتار بر فصل) بود و حداکثر عملکرد گندم پیش‌بینی شده در دوره ۲۰۲۱-۲۰۴۰ و مدل MIROC5 با سناریوی RCP8.5 برابر ۹/۸۶ (تن بر هکتار بر فصل)، در دوره ۲۰۴۱-۲۰۶۰ و GFDL-CM3 با سناریوی RCP8.5 برابر ۱۰/۵۰ (تن بر هکتار بر فصل)، و در دوره‌های ۲۰۶۱-۲۰۸۰ و ۲۰۸۱-۲۱۰۰ و مدل HadGEM2-ES با سناریوی RCP8.5 به ترتیب برابر ۱۱/۷۸ و ۱۲/۲۹ (تن بر هکتار بر فصل) برآورد شد. حداقل عملکرد گندم در دوره پایه (۲۰۱۵-۱۹۸۶) ۶/۹۶ (تن بر هکتار بر فصل) به دست آمد و حداقل عملکرد گندم پیش‌بینی شده در دوره ۲۰۲۱-۲۰۴۰ و مدل MIROC5 با سناریوی RCP4.5 برابر ۸/۲۲ (تن بر هکتار بر فصل) و در دوره‌های ۲۰۴۱-۲۰۶۰، ۲۰۶۱-۲۰۸۰ و ۲۰۸۱-۲۱۰۰ و مدل HadGEM2-ES با سناریوی RCP2.6 به ترتیب برابر ۸/۵۶، ۸/۴۰ و ۸/۲۸ (تن بر هکتار بر فصل) حساب شده است. میزان میانگین تبخیر تعرق در دوره پایه ۳۱۳/۳۴ میلی‌متر بود. نتایج نشان می‌دهد که تبخیر تعرق در دوره ۲۰۲۱-۲۰۴۰ افزایش می‌یابد. در دوره‌های ۲۰۴۱-۲۰۶۰، ۲۰۸۰-۲۰۶۱ و ۲۰۸۱-۲۱۰۰ تبخیر تعرق هم به صورت افزایشی و هم به صورت کاهش‌ی دیده شد. در دوره ۲۰۶۱-۲۰۸۰، مدل EC-EARTH با سناریوی RCP8.5 بیشترین درصد تغییرات برآورد تبخیر

جدول ۶- درصد تغییرات عملکرد گندم در ایستگاه سینوپتیک قزوین تحت سه سناریو و چهار دوره آبی در مقایسه با دوره پایه (۱۹۸۶-۲۰۱۵)

Table 6- Percentage of changes in wheat yield in Qazvin synoptic station under three scenarios and four future periods compared to the baseline (1986-2015)

مدل‌های گردش عمومی GCMs	سناریوها scenario	2021-2040	2041-2060	2061-2080	2081-2100
EC-EARTH	RCP4.5	13.41	21.90	25.46	24.60
	RCP8.5	16.68	26.55	44.94	54.71
GFDL-CM3	RCP4.5	12.60	22.24	23.83	22.93
	RCP8.5	16.46	30.36	44.32	53.66
HadGEM2-ES	RCP2.6	13.11	15.41	13.95	10.54
	RCP4.5	13.44	21.32	28.43	27.42
	RCP8.5	16.54	29.46	46.43	55.68
	RCP4.5	12.57	20.40	23.71	22.91
MIROC5	RCP8.5	15.47	27.28	42.23	51.62
	RCP4.5	12.76	20.07	24.61	23.63
MPI-ESM-MR	RCP8.5	15.07	26.96	42.11	51.47

جدول ۷- درصد تغییرات نیاز آبی گندم در ایستگاه سینوپتیک قزوین تحت سه سناریو و چهار دوره آبی در مقایسه با دوره پایه (۱۹۸۶-۲۰۱۵)

Table 7- Percentage of changes in wheat water requirement in Qazvin synoptic station under three scenarios and four future periods compared to the baseline (1986-2015)

مدل‌های گردش عمومی GCMs	سناریوها scenario	2021-2040	2041-2060	2061-2080	2081-2100
EC-EARTH	4.5	-12.22	-46.67	-47.06	-14.34
	8.5	-13.56	-32.91	-87.77	-75.97
GFDL-CM3	4.5	-5.61	-28.86	-39.04	-3.61
	8.5	-14.70	-70.15	-62.40	-47.34
HadGEM2-ES	2.6	-14.38	-23.39	-45.81	-3.69
	4.5	-12.30	-30.63	-70.27	-34.95
	8.5	-18.59	-46.32	-78.49	-71.41
	4.5	-9.00	-38.29	-17.53	0.36
MIROC5	8.5	-22.68	-16.07	-70.43	-62.56
	4.5	-7.66	-12.26	-6.87	6.18
MPI-ESM-MR	8.5	9.45	-10.53	-58.47	-28.03

جدول ۸- درصد تغییرات تبخیر و تعرق گندم در ایستگاه سینوپتیک قزوین تحت سه سناریو و چهار دوره آبی در مقایسه با دوره پایه (۲۰۱۵-۱۹۸۶)

(۱۹۸۶)

Table 8- Percentage of changes in wheat evapotranspiration in Qazvin synoptic station under three scenarios and four future periods compared to the baseline (1986-2015)

مدل‌های گردش عمومی GCMs	سناریوها Scenario	2021-2040	2041-2060	2061-2080	2081-2100
EC-EARTH	4.5	5.16	-3.22	-6.91	0.23
	8.5	5.10	-4.04	-19.42	-17.01
GFDL-CM3	4.5	7.70	-0.87	-3.29	4.80
	8.5	2.73	-7.33	-15.14	-11.65
HadGEM2-ES	2.6	5.75	2.07	0.48	8.38
	4.5	7.23	0.06	-8.87	-0.75
	8.5	3.23	-5.96	-18.70	-15.51
	4.5	9.65	2.39	2.33	8.91
MIROC5	8.5	6.05	0.04	-12.52	-9.52
	4.5	9.40	3.54	-0.40	6.26
MPI-ESM-MR	8.5	8.19	-1.34	-12.94	-8.28

RCP8.5 بیشترین درصد تغییرات برآورد عملکرد گندم را داشته است.

مدل GFDL-CM3 در سناریوی RCP8.5 در دوره ۲۰۴۰-۲۰۶۰

نتایج نشان می‌دهد که عملکرد محصول در دوره‌های آبی افزایش

می‌یابد. در دوره ۲۰۲۱-۲۰۴۰ مدل EC-EARTH در سناریوی

نتیجه‌گیری

در این پژوهش به ارزیابی ماهانه دمای حداقل و حداکثر و بارش دوره پایه (۲۰۱۵-۱۹۸۶) و شبیه‌سازی شده با مدل LARS-WG پرداخته شد. نتایج نشان داد که داده‌های دمای حداقل و حداکثر شبیه‌سازی شده و داده‌های ایستگاه سینوپتیک همبستگی بالایی دارند و ضریب تبیین در دوره پایه بیش از ۹۰ درصد به‌دست آمد. برای متغیرهای دمای حداقل و حداکثر، مقدار RMSE کمتر از سه (درجه سانتی‌گراد بر ماه) محاسبه شد. ضریب تبیین برای بارش شبیه‌سازی شده با مدل LARS-WG نشان داد که داده‌های شبیه‌سازی شده و داده‌های ایستگاه سینوپتیک همبستگی بالایی ندارند و ضریب تبیین به کمتر از نیم کاهش می‌یابد. به‌طور کلی، ارزیابی آماری نشان داد که مدل در شبیه‌سازی دمای حداقل و حداکثر دقت بیشتری نسبت به بارش دارد. همچنین برای برآورد عملکرد و نیاز آبی در دوره‌های آبی از داده‌های بارش و دما پیش‌بینی شده مدل LARS-WG6 و دی‌اکسید کربن سناریوهای RCP2.6، RCP4.5 و RCP8.5 موجود در مدل Aqua Crop استفاده شد. میانگین عملکرد گندم برای دوره پایه ۷/۶۷ (تن بر هکتار بر فصل) به‌دست آمد. میانگین عملکرد در دوره‌های آبی افزایش می‌یابد که این میزان در مدل HadGEM2-ES با سناریوی RCP8.5 و دوره ۲۰۸۱-۲۱۰۰ بیشترین مقدار را دارد. نیاز آبی در دوره پایه ۱۲۷/۱۴ (میلی‌متر بر فصل) به‌دست آمد. میانگین نیاز آبی در دوره‌های آبی کاهش می‌یابد. در کل می‌توان بیان کرد که در دوره‌های آبی عملکرد گندم در دشت قزوین افزایش و نیاز آبی کاهش می‌یابد. غلظت دی‌اکسید کربن یک متغیر مهم مورد نیاز در شبیه‌سازی رشد گیاهان C₃ است. افزایش غلظت دی‌اکسید کربن علی‌رغم نقش مستقیمی که در تغییرات اقلیمی دارد، به‌دلیل افزایش فتوسنتز، کاهش هدایت روزنه‌ای و در نتیجه کاهش تعرق از سطح برگ موجب افزایش عملکرد و بهره‌وری آب گیاهان زراعی می‌شود. نتایج تحقیق حاضر در رابطه با تأثیر شرایط تغییر اقلیم آینده بر عملکرد و نیاز آبی گندم در دشت قزوین می‌تواند ابزار سودمندی برای مدیران، کارشناسان، برنامه‌ریزان و سیاست‌گذاران بخش آب به‌منظور مدیریت صحیح و پایدار منابع آب و در راستای توسعه کشاورزی باشد.

بیشترین میانگین عملکرد را نسبت به دوره پایه شبیه‌سازی کرده است. در دوره ۲۰۸۰-۲۰۶۱ و ۲۰۸۱-۲۱۰۰ مدل HadGEM2-ES در سناریوی RCP8.5 بیشترین درصد تغییرات برآورد عملکرد گندم را داشته است. نیاز آبی طی دوره‌های آبی کاهش می‌یابد که این میزان کاهش در اکثر سناریوهای RCP8.5 بیشتر از دیگر سناریوها بود. یکی از دلایلی که نیاز آبی در دوره‌های آبی کاهش یافته، کاهش تبخیر تعرق گیاه به‌علت کاهش طول دوره رشد می‌باشد. در پژوهشی که بر روی برآورد نیاز آبی گندم زمستانه در کشور چین انجام دادند، به نتایج مشابهی دست یافتند که با نتایج پژوهش حاضر هم‌خوانی دارد (Xing et al., 2018). یکی دیگر از دلایل کاهش نیاز آبی را می‌توان به کاهش هدایت روزنه‌ای ناشی از افزایش غلظت CO₂ و نیز کاهش طول فصل رشد ناشی از افزایش دما نسبت داد. در پژوهشی در بیرجند تحت شرایط تغییر اقلیم به این نتیجه رسیدند که با کوتاه‌تر شدن طول دوره رشد گندم و جو، میزان نیاز آبی این دو گیاه در کل دوره رشد نسبت به دوره پایه کاهش می‌یابد (Rahmani et al., 2016). در پژوهشی به بررسی رخداد تغییر اقلیم و تأثیری آن بر فنولوژی عملکرد گندم در منطقه غرب و شمال غرب ایران پرداختند. نتایج نشان داد که عملکرد دانه گندم ۳۵ درصد افزایش خواهد داشت (Mohammadi et al., 2020) که با نتیجه مطالعه حاضر هم‌خوانی دارد. حداکثر نیاز آبی دوره پایه (۲۰۱۵-۱۹۸۶)، ۲۷۴ (میلی‌متر بر فصل) بود و حداکثر نیاز آبی پیش‌بینی شده در دوره ۲۰۲۱-۲۰۴۰ در مدل MPI-ESM-MR با سناریوی RCP8.5 برابر ۲۶۵ (میلی‌متر بر فصل)، برای دوره ۲۰۴۱-۲۰۶۰ در مدل HadGEM2-ES با سناریوی RCP4.5 برابر ۱۶۷ (میلی‌متر بر فصل)، در دوره ۲۰۶۱-۲۰۸۰ در مدل های EC-EARTH و GFDL-CM3 با سناریوی RCP4.5 برابر ۱۶۳ (میلی‌متر بر فصل) و در دوره ۲۰۸۱-۲۱۰۰ در مدل GFDL-CM3 با سناریوی RCP4.5 برابر ۲۵۴ (میلی‌متر بر فصل) برآورد شد. در پژوهشی به مدل‌سازی اثرات تغییر اقلیم بر نیاز آبیاری و کارایی مصرف آب در گندم‌زارهای استان خوزستان پرداخته شد (Deihimfard et al., 2017). نتایج آن‌ها نشان داد که عملکرد دانه گندم در شرایط تغییر اقلیم نسبت به دوره پایه افزایش می‌یابد و با توجه به افزایش دما و افزایش غلظت CO₂، کاهش رشد و کاهش تبخیر و تعرق نیاز آبی در شرایط تغییر اقلیم کاهش می‌یابد که با نتایج پژوهش حاضر هم‌خوانی دارد.

References

- Adabi, V., Azizian, A., Ramezani Etedali, H., Kaviani, and A., Ababaei, B., 2020. Local sensitivity analysis of Aqua Crop model for wheat and maize in plain and Moghan Pars-Abad in Iran. *Iranian Journal of Irrigation and Drainage* 6(13): 1565-1579. (In Persian with English Summary)
- Akbari, M., Najafi Alamdalo, H., and Mosavi, S.H., 2019. Impacts of climate change and drought on income risk and crop pattern in Qazvin plain irrigation network. *Journal of Water Research in Agriculture* 33(2): 265-282. DOI:10.22092/JWRA.2019.119742 .(In Persian with English Summary)
- Arefinia, A., Ahmadali, K., and Nasiri Mirian, M., 2020. Estimation of water requirement of winter wheat in Gorgan plain in the conditions of climate change. *Iranian Soil and Water Research* 51(7): 1868-1857. (In Persian with English Summary)
- Asadi, M., Zarabianeh, H., Delavar, N., and Asadi, A., 2020. The effect of climate change phenomenon on climate parameters of Hamedan. *Environmental Science and Technology* 21(9): 1-14. (In Persian with English Summary)
- Azuara, J., Howitt, R., MacEwan, D., and Lund, J., 2011. Economic impacts of climate-related changes to California agriculture. *Journal of Climatic Change* 109: 387-405.
- Babolhakami, A., Gholami-Sefidkoochi, M., and Emadi, M., 2020. The effect of climate change on the evaporation of reference transpiration in Mazandaran province. *Iranian Soil and Water Research* 51(2): 387-401. (In Persian with English Summary)
- Burkart, S., Manderscheid, R., Wittich, K.P., Löpmeier, F., and Weigel, H.J., 2011. Elevated CO₂ effects on canopy and soil water flux parameters measured using a large chamber in crops grown with free-air CO₂ enrichment. *Plant Biol (Stuttg)* 13: 258-269. DOI: 10.1111/j.1438-8677.2010.00360.x
- Deihimfard, D., Eyni Nargeseh, H., and Farshadi, S., 2017. Modeling the effects of climate change on irrigation requirement and water use efficiency of wheat fields of Khuzestan province. *Journal of Water and Soil* 31(4): 1015-1030.
- Eyshi Rezaie, E., and Bannayan, M., 2012. Rainfed wheat yields under climate change in Northeastern Iran. *Meteorological Application* 19: 346-354.
- Goudarzi, M., Salahi, B., and Hosseini, S.A., 2015. Performance assessment of LARS-WG and SDSM Downscaling Models in simulation of climate changes in Urmia Lake Basin. *Iranian Journal of Watershed Management Science and Engineering* 9(31):11-22. (In Persian with English Summary)
- IPCC. Summary for policymakers. In: *Climate Change. 2014. Impacts, Adaptation, and Vulnerability. Part A: Global and Sectoral Aspects. Contribution of Working Group II to the Fifth Assessment Report of the Intergovernmental Panel on Climate Change* Cambridge University Press, Cambridge. United Kingdom and New York. NY. USA. pp. 1-32.
- Jalali, M., Sarai Tabrizi, M., and Babazadeh, H., 2020. Investigation of the effect of climate change on runoff and water balance of Latian dam catchment using SWAT model. *Echo Hydrology* 7(1): 17-28. (In Persian with English Summary)
- Janjua, P.Z., Samad, G., and Khan, N., 2014. Climate change and wheat production in Pakistan. Autoregressive distributed lag approach. *NJAS – Wageningen. Journal of Life Sciences* (68): 13-19.
- Joinior, W., Loireau, M., Fargette, M., Filho, B., and Wele, A., 2017. Correlation between soil erodibility and satellite data on areas of current desertification: A case study in Senegal. *Ciência & Trópico*. 42(2): 51-66.
- Kamali, B., Ramezani Etedali, H., and Sotoodehnia, A., 2016. Determining appropriate time for rainfed lentil sowing and supplementary irrigation in Qazvin's Plain using AquaCrop Model. *Iranian Journal of Irrigation and Drainage* 5(10): 613-621. (In Persian with English Summary)
- Karimi, T., Stöckle, C., Higgins, S., and Nelson, R., 2017. Climate change and dryland wheat systems in the US Pacific Northwest. *Agricultural Systems*. 159: 144-156. DOI.org/10.1016/j.agry.2017.03.014
- Kemfert, C., 2009. Climate protection requirements the economic impact of climate change. Bausch & Burkhard Schwenker (ed.), *Handbook Utility Management*, chapter 42, 725-739. doi.org/10.1007/978-3-540-79349-6_42.
- Khaliliaqdam, N., Masaedi, A., Soltani, A., and Kamkar, B., 2012. Evaluation of the ability of LARS-WG model in predicting some atmospheric parameters of Sanandaj. *Journal of Soil and Water Conservation Research* (4)19: 122-85. (In Persian with English Summary)
- Koohi, M., Shirmohammadi, Z., Khani, A., Mohammadian, A., and Habibi-Nokhandan, H., 2020. Spatial-temporal distribution of reference temperature and evapotranspiration using CRU data in Khorasan Razavi and predicting future

- changes based on CMIP5 climate models. *Remote Sensing and GIS Iran* 12(1): 72-55. (In Persian with English Summary)
- Ludwig, F., and Asseng, S., 2008. Impacts and adaptation to climate change in Western Australian wheat cropping systems. *Agricultural Systems*, 90: 159-179.
- Ly, Z., Lio, X., Cao, W., and Zhu, Y., 2013. Climate change impacts on regional winter wheat production in main wheat production regions of China. *Agricultural of Forest Meteorology* 171: 234-248.
- Mohammadi, E., Movahedi, S., Mohammadi, R., and Gologari, S. 2020. Investigation of climate change occurrence and its impact on dryland wheat yield phenology in the West and Northwest of Iran. *Climatological Research*. 11(43): 159-170. (In Persian with English Summary)
- Nazari., R., and Kaviani., A., 2016. Evaluation of potential evaporation and transpiration methods and evaporation pan with elysimeter values in a semi-arid climate (Case study: Qazvin plain). *Echo Hydrology* 3(1): 19-30. (In Persian with English Summary)
- Nikbakhtshahbazi, A., 2018. Investigation of precipitation changes and evapotranspiration of agricultural products in Khuzestan province under the influence of climate change. *Water and Soil Conservation Research* 25(6): 139-123. (In Persian with English Summary)
- Rahmani, M., Jami Al-Ahmadi, M., Shahidi, A., and Hadizadeh Azghandi, M., 2016. Effects of climate change on length of growth stages and water requirement of wheat (*Triticum aestivum* L.) and barley (*Hordeum vulgare* L.) (Case study: Birjand plain). *Journal of Agroecology* 7(4): 443-460. (In Persian with English Summary)
- Reilly, J., 1999. What does climate change mean for agriculture in developing countries? A comment on Mendelsohn and Dinar. *The World Bank Research Observer*. (14): 295-305.
- Samadi, Z., Massahbovani, A., and Madavi, M., 2007. Investigating the effect of small regression scaling methods on river flood regime. Technical workshop on the effects of climate change on water resources management. <https://civilica.com/doc/115812>
- Soria-Ruiz, J., Fernandes-Ordonez, Y., Quijano-Carranza, A., Macías-Cervantes, J., Saucedo, P., Gonzalez, D., and Quintana, J., 2012. Remote Sensing and Simulation Model for Crop Management. *Proceedings of the PIERS Proceedings*, Kuala Lumpur, Malaysia, 27-30.
- Srivastava, A.K., Mboh, C.M., Zhao, G., Gaiser, T., and Ewert, F., 2018. Climate change impact under alternate realizations of climate scenarios on maize yield and biomass in Ghana. *Agricultural Systems*.159: 157-174. [DOI.org/10.1016/j.agsy.2017.03.011](https://doi.org/10.1016/j.agsy.2017.03.011)
- Steduto, P., Hsiao, T.C., Fereres, E., and Raes, D., 2012. Crop yield response to water (Vol. 1028): Food and Agriculture Organization of the United Nations Rome.
- Steduto, P., Hsiao, T.C., Raes, D., and Fereres, E., 2009. AquaCrop—The FAO crop model to simulate yield response to water: I. Concepts and underlying principles. *Agronomy Journal* 101(3): 426-437.
- Sun, S.K., Li, C., Wu, P.T., Zhao, X.N., and Wang, Y.B., 2018. Evaluation of agricultural water demand under future climate change scenarios in the Loess Plateau of Northern Shaanxi, China. *Ecological Indicators* 84: 811-819.
- Tao, X.E., Chen, H., Xu, C.Y., Hou, Y.K., and Jie, M.X., 2015. Analysis and prediction of reference evapotranspiration with climate change in Xiangjiang River Basin, China. *Water Science and Engineering* 8(4): 273-281.
- Xing, W., Wang, W., Shao, Q., and Ding, Y., 2018. Estimating net irrigation requirements of winter wheat across Central-Eastern China under present and future climate scenarios. *Journal of Irrigation and Drainage Engineering* 144(7): 05018005.
- Zarei, K., Mohammadi, H., and Bazgir, S., 2019. Simulation of Gorgan Synoptic Station Temperature and Precipitation with RCP Scenarios. *Physical Geography Research* 51(4): 579-563. (In Persian with English Summary) [DOI.10.22059/jphgr.2019.280943.1007378](https://doi.org/10.22059/jphgr.2019.280943.1007378)
- Zeinali Mobarakeh, Z., Deihimfard, R., Kambouzia, J. 2019. Evaluation of the effects of climate change and its adaptation strategies on the performance and efficiency of water use of water wheat (*Triticum aestivum*): a case study of Razavi Khorasan province. *Plant production research (agricultural sciences and natural resources)* 26 (3): 71-87.